



77-1-4

# 化工单元设备资料

## 喷 雾 干 燥 (二)

上海化学工业设计院医药农药工业设计建设组

## 喷雾干燥器的运转和设计(12)

$Re \cdot 10^3$	2	3	4	6	8	$10^3$	2	3	4	6	8	$10^3$	2	3	4	6	8	$10^3$	
$R_e$	2×10 <sup>3</sup>	10 <sup>3</sup>	8	4	3	2	10 <sup>3</sup>	8	6	4	3	2	10 <sup>3</sup>	8	6	4	3	2	
C	1	10 <sup>3</sup>	6	4	2	10 <sup>3</sup>	8	6	4	2	10 <sup>3</sup>	8	6	4	2	10 <sup>3</sup>	8	6	
$CR_d$	3	4	6	8	$10^3$	2	3	4	6	8	$10^3$	2	3	4	6	8	$10^3$		
$CR_e$	3	4	6	8	$10^3$	2	3	4	6	8	$10^3$	2	3	4	6	8	$10^3$		
I	$2 \times 10^3$	1.6	10 <sup>3</sup>	8	6	4	10 <sup>3</sup>	8	6	4	3	2	10 <sup>3</sup>	8	6	4	3	2	
$R_d$	$10^3$	2	3	4	6	8	$10^3$	2	3	4	6	8	$10^3$	2	3	4	6	8	$10^3$

$Re \cdot 10^3$	2	3	4	6	8	$10^3$	2	3	4	6	8	$10^3$	2	3	4	6	8	$10^3$
$R_e$	1	0.6	0.6	0.5			0.4	0.59	0.55	0.39	0.41	0.42	0.44	0.45	0.46	0.49	0.51	
C	10 <sup>3</sup>	6	4	3	2	10 <sup>3</sup>	8	6	4	3	2	10 <sup>3</sup>	8	6	4	3	2	10 <sup>3</sup>
$CR_d$	3	4	6	8	$10^3$	2	3	4	6	8	$10^3$	2	3	4	6	8	$10^3$	
$CR_e$	3	4	6	8	$10^3$	2	3	4	6	8	$10^3$	2	3	4	6	8	$10^3$	
I	$10^3$	4	9	5	3		10 <sup>3</sup>	8	6	4	3	2	10 <sup>3</sup>	8	6	4	3	$10^3$
$R_d$	2	3	4	6	8	$10^3$	2	3	4	6	8	$10^3$	2	3	4	6	8	$10^3$

$Re \cdot 10^3$	2	3	4	6	8	$10^3$	2	3	4	6	8	$10^3$
$R_e$	0.48	0.46	0.4	0.29	0.16	0.08	0.1		0.2			
C	1	2	2	$10^3$	4	2		10 <sup>3</sup>	8	6		
$CR_d$	6	$8 \cdot 10^3$	1.5	1.8	1.17	3.4	$8 \cdot 10^3$	2	3	4	$8 \cdot 10^3$	
$CR_e$	45 <sup>2</sup>	1.06										
I	$10^3$	2	3	4	6	$8 \cdot 10^3$	2	3	4	6	$8 \cdot 10^3$	
$R_d$	2	3	4	6	8	$10^3$	2	3	4	6	8	$10^3$

图4 球形粒子的阻力系数以及该系数和雷诺数的关系

## 喷雾干燥器的运转和设计(14)



图23 蒸发率为230时球形粒子形状



图25 蒸发率为940时球形变化情况(其一)



图26 蒸发率为340时球形变化情况



图27 蒸发率为340时球形变化情况(其二)

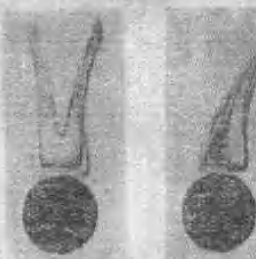


图27 喷嘴为3孔时的液滴变化情况  
(3孔)



图28 速度率为400  
时液滴球形的复原形状

图29 速度率为10 104时  
无定形颗粒的形状

#### 喷雾干燥器的运转和设计(16)

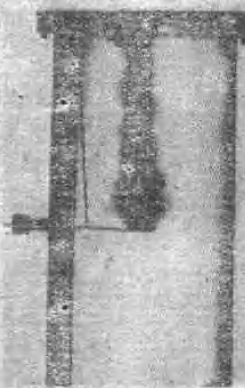


图19 小喷嘴在中心处喷出

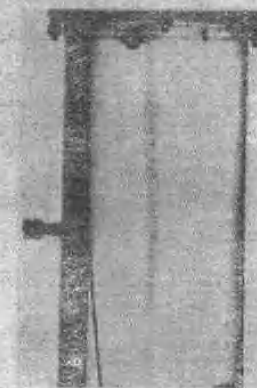


图20 喷嘴喷射的示踪物

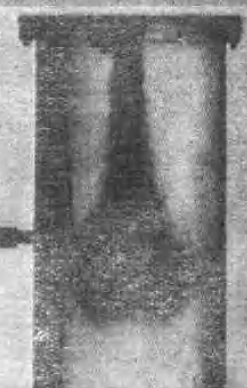


图21 药物飞溅到中心圆柱  
上散开

8/1805

2/32  
2

## 喷雾干燥

### 第二集

(译自日文“化学装置 1971年1~2和1972年  
2、3、4、5、6、7、8、9、10期)

### 目 录

1 喷雾干燥的运转和设计(11) .....	1
2 喷雾干燥的运转和设计(12) .....	23
3 喷雾干燥的运转和设计(13) .....	55
4 喷雾干燥的运转和设计(14) .....	78
5 喷雾干燥的运转和设计(15) .....	99
6 喷雾干燥的运转和设计(16) .....	120
7 喷雾干燥的运转和设计(17) .....	144
8 喷雾干燥的运转和设计(18) .....	168
9 喷雾干燥的运转和设计(19) .....	183
10 喷雾干燥的运转和设计(20) .....	215

## 喷雾干燥器的运转和设计(II)

### 第四章 超声波喷雾

圆板式、压力式、双流式为喷雾干燥最好的喷雾器，都逐一作了介绍，除上述以外的喷雾器，在压力式喷嘴中，还有扇形喷嘴（喷嘴呈矩形），整体喷嘴（没有旋回流压力式喷嘴），同上述原理不同喷嘴有液—液衝突式，静电式，超声波式（或超声波振动），以及单纯的振动式喷雾器等。

有关超声波喷雾情况介绍于下：

超声波喷雾同其他喷雾器比较从喷雾器喷出的速度慢，即液滴的飞翔距离短，还有作为一般的倾向，液体的道路少，液的压力和流量对液体的物性影响少，等为特长。

为此是值得注目的喷雾器

#### 4-1 哈特曼式的其它空气流发声

本节对哈特曼笛和空气流的超声波发生器拟作基本的介绍。

哈特曼的实验装置是利用空气喷流的非常简单的装置，成功的发生强的声波，首先，最初的预备实验装置如图1所示，压缩空气是由图中的Y，通过空气溜B而由S喷出。

在开着空隙的K部分承受此空气喷流，空气压力即B部分的压力与K部分的压力差用M的压力计测定。

其结果如图2(a)示，由于S和K的距离不同，显示出压力的脉动，在同图(b)(c)为压力脉动的说明图，(b)的情况是压力差较小，(c)的情况压力差较大，发声时为(b)的状态。

根据这些预备试验，哈特曼制作了图3的实验装置。

压缩空气由此图的左侧管子的喷嘴部分喷出，该空气流同共振器

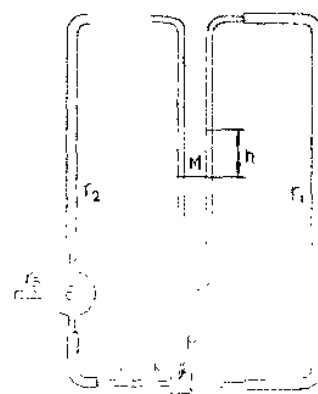


图1 哈特曼的实验装置

且冲击共振器 R 的微螺旋可以调节微量距离，共振器 M 的空气喷流冲击部分开启小的共振孔。

哈特曼发现此实验装置的结果是：共振孔深度与发生声的波长为直线关系。

图 4 为共振的口径为 0.7 毫米时的情况，图 5 为共振孔的口径为 1.2 毫米时的数据，共振孔部深与声波的波长的关系都成直线关系。

将此种关系归纳成实验式，分别如下：

$$\lambda = 4 \cdot 22 d + 1 \cdot 2 \quad (\text{图 4}) \quad (1)$$

$$\lambda = 4 \cdot 22(d + 0 \cdot 3) \quad (\text{图 5}) \quad (2)$$

$\lambda$  = 波长  $d$  = 共振孔的深度

按上列二式，可以确定波长大致为共振孔的 3 倍。

根据上述哈特曼的研究，确信以简单的装置可发生超声波。

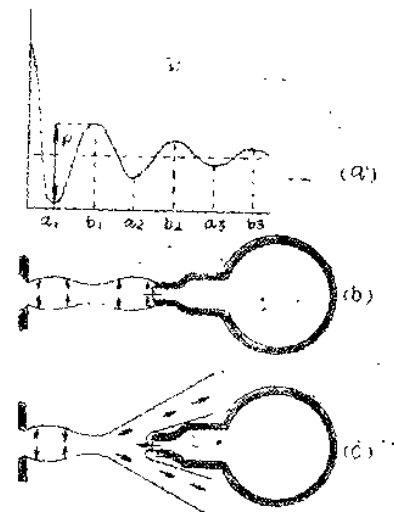


图 2 哈特曼(Harfmann)  
的实验结果

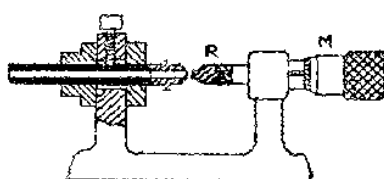


图 3 哈特曼的发音器的实验装置

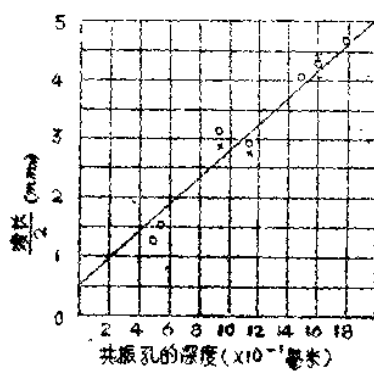


图 4 哈特曼的实验结果  
(共振孔的直径 0.7 毫米)

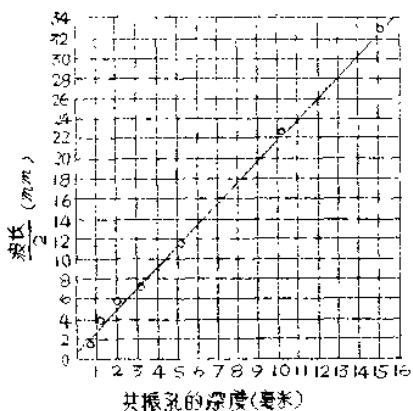


图 5 哈特曼的实验结果  
(共振孔的直径 1.2 毫米)

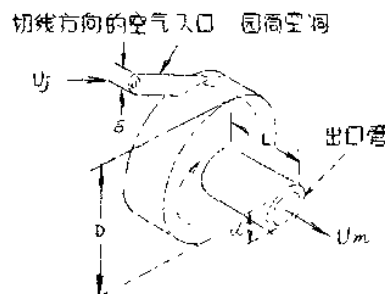


图 6 钱诺德(Chanaud)③  
的音波发生器

图 6 所示为钱诺德涡卷型发声器用水和空气进行实验，水和本文没什么关系故省略。

以空气做实验时，图 6 是切线方向空气进口管径  $\delta$  为 0.25 吋，圆筒空腔的直径  $D$  为 0.5, 1.0, 2.0 吋三种，其长度为 1 吋。

空气的进口管按装在空腔的 1 吋长度的中央，大部分的笛按装在喷嘴的后边，这样按装的位置，对于声的周波数没有影响。

出口管其直径有 0.245, 0.37, 0.495, 0.745 吋 4 种，长度为 0.5, 1.0, 2.0, 4.0, 8.0 吋，曾进行过多种直径和长度的组合。

实验结果，首先获得出口管长度对周波数的影响结果见图 7。

图中的横轴为出口管的空气雷诺数，纵轴为斯多哈尔数 ( $f \cdot d$ ) /  $U_m$   $f$  为周波数， $d$  和  $U_m$  为出口管的内径和空气速度。

图 7 圆筒空腔的直径为 2 吋，空气的出口管的直径为 0.73 吋时的结果。若令空气的动粘度  $\nu$  一定时，对应于横轴的雷诺数，空气速度  $U_m$  值相同，出口管的速度相同时， $L/d$  愈大，出口管愈长，则周波数为小。

对于不同的  $L/d$ ，雷诺数增加时，则斯多哈尔数增大。

图 8 表示在不同的出口管直径条件下，其长度的影响同理论值（科切特兹 Collatz 和戈特 Gortler）的比较。

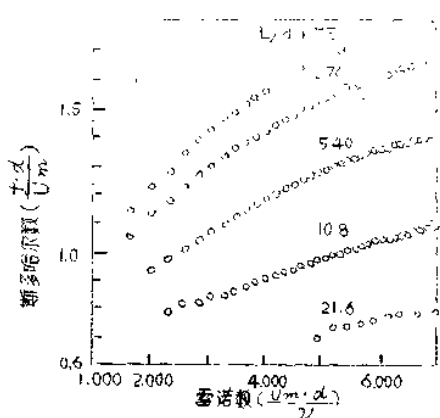


图7 出口管的长度与  
音的周波数的关系

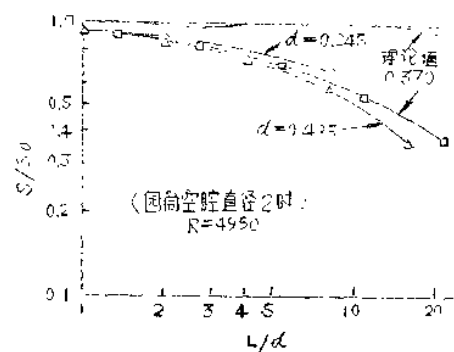


图8 出口管的长度  
影响的比较

纵轴的  $S_0$  为斯多哈尔数， $S_0$  为  $L/d = 1$  时的斯多哈尔的理论值。圆筒空腔的直径，和其它因素的影响由图 9 表示，空气入口的口径，圆筒空腔的直径，出口管的口径等之间具有复朴的关系。

从图可清楚地看到  $D/d$  的比值大时则斯多哈尔数也大，若  $D/d$  的比值大则斯多哈尔数趋向为小，可清清楚楚的看到。

#### 4-2 超声波喷雾

佩斯金 (Peskine) 曾对液体薄膜的超声波喷雾器理论作了研究，关于超声波喷雾时的液滴直径的分布见文献(5)。

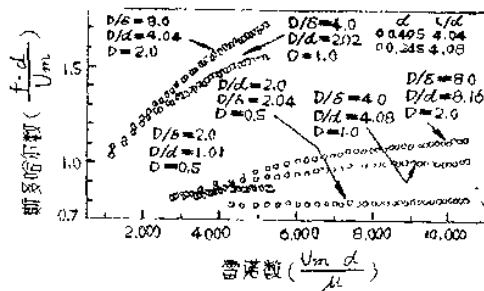


图9 圆筒空腔等的大小

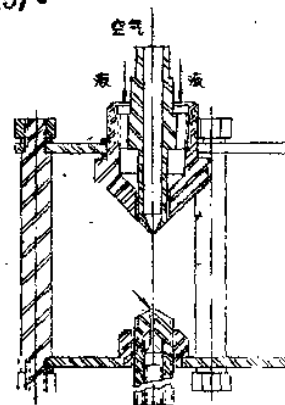


图10 使用哈特曼管的喷雾器

本节主要研究喷雾的实际问题。

威尔科克斯(Wilcox)为使用哈特曼的笛用20~90,000周波/秒的声波进行喷雾实验，其实验装置如图1-0所示，液体在外侧由内侧用空气喷出，进行了关于空气压力同共振孔的位置以及孔的深度之间的实验。

表 1

	A	B	C	D
加料方法	环状薄膜			
音波周波数(KHz)	42	18	*	42
水流量(加仑/时)	50	50	20	20
水压(磅/吋 <sup>2</sup> )	50	50	12	12
空气流量(磅/时)	15·4(恒定)			
空气压力(磅/吋 <sup>2</sup> )	50(恒定)			
体面积平均直径(μ)	158	139	124	21

\* 无共振器

表 2

	A	B	C
加料方法	图12	图12	图13
水流量(加仑/时)	123	185	100
水压(磅/吋 <sup>2</sup> )	20	40	36
空气流量(磅/时)	66	35	58
空气压力(磅/吋 <sup>2</sup> )	90	40	70
体面积平均直径(μ)	282	256	173

周波数与前项公式有少许变更

$$f = C / 4 (L + 0.3d) \quad (3)$$

$f$  = 音的周波数； $C$  = 音速； $L$  = 共振孔的深度； $d$  = 共振孔的直径。

此外，声波的强度在喷雾器的中心线的 1.0 倍下边，当使用 5.0 磅/吋<sup>2</sup> 压力的空气时，可得 135 dB (1 dB 为 0.0002 达因/厘米<sup>2</sup>)

上述试验结果如表 1 和图 11 所示，图 11 的 A、B、C、D 的条件见表 1。表 1 的 A 和 B 由于声波数不同而其他条件相同，其平均粒径为 158 和 139 μ，也许周波数高不一定液滴径小，不用说是由于实验数据过少而得出的结论，表 1 中的 C、D 条件是超声波有无的比较，其平均径为 124 μ 到 21 μ，呈现了使用超声波的效果，由图 11 看出液滴径是非常均匀的。

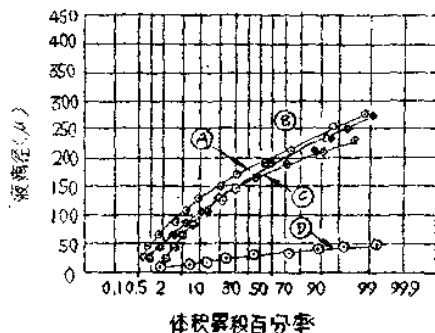


图 11 使用哈特曼笛喷雾  
的液滴粒径分布  
(按图 10 的实验装置)

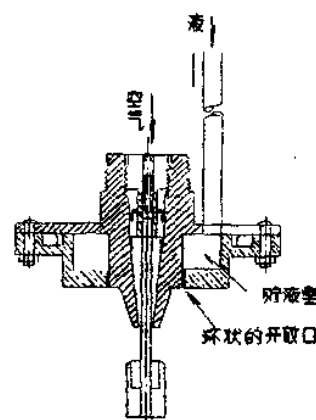


图 12 改良型超声波的  
喷雾器(环状液膜型)

在图 10 的实验装置，因为共振器的支架干扰喷雾，所以威尔科克斯改进了图 12、图 13 的实验装置。

其实验结果如表 2 和图 14，根据图 12 的实验装置，在声波发生器之间，当流过薄液层时，表 2 的 A、B 中，B 的液体量比 A

的多，尽管认为声波能量较小，而其平均粒径稍微小些。

由图14看它的液滴径的分布，一般来说得不到好的结果，即几乎不受音波的影响。在图13实验装置的实验值没有同C相同的装置的比较数据，同A、B的数据比较水压为A、B试验中间值，水量比其小一位数，由喷嘴进行喷雾试验其平均直径没有象A、B那样小，还有在图14看出的滴径分布，同A、B比也不见得好，仅从图14看出A、B、C的实验径同其他喷雾器比较也没有看出有良好的结果。

威尔科克斯等人也进行上述的实验得不到均匀喷雾，图15为按装有反射镜的实验装置曾做一些共振器位置变化的实验，但没取得实验数据。

汉森(Hansen)曾经通过高速度照相检查超声波喷雾器形成的油滴，喷雾器使用图16的2种形式进行实验，在喷雾器A，小铁块的尖端，从液体入口进入的油由芯子送到尖端的表面，喷雾部分的尖端的尺寸为 $0.4 \times 2$  mm，即螺丝刀型。在尖端涂油，由把手部分的超声波发生器的振动而进行喷雾。

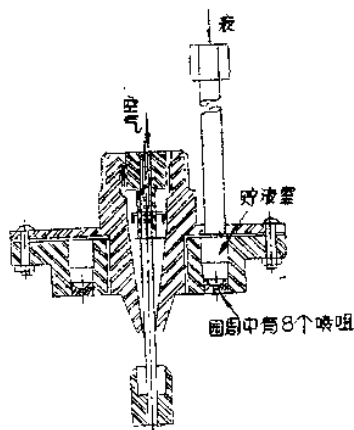


图13 改良型的超声波喷雾器

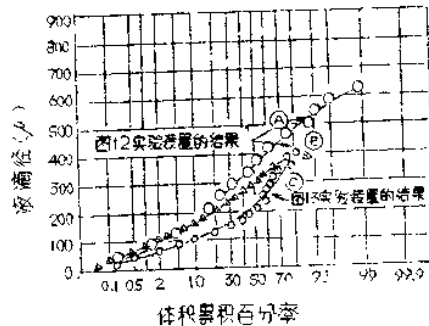


图14 超声波喷雾器的液滴径分布

喷雾器B为由内径0.16 mm，外径0.21 mm的玻璃毛细管组成，

使油从毛细管流出，借超声波喷雾油的一种形式。

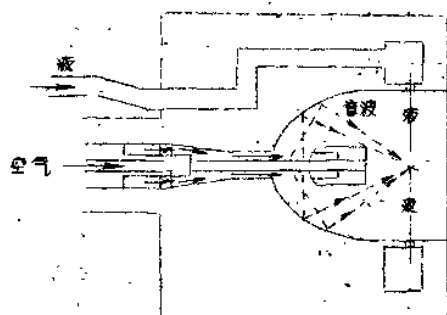


图 1·5 按装反射镜的超声波喷雾器

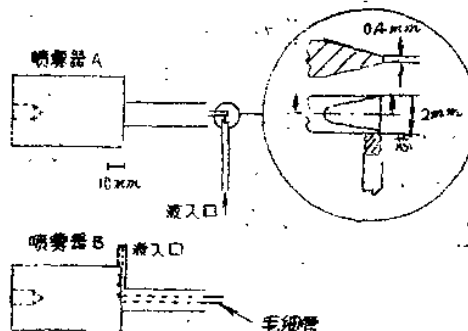


图 1·6 汉森的超声波喷雾器的实验装置

喷雾器 A 的喷雾状态如图 1·7。

图中 1~1·6<sup>#</sup> 的喷雾状态均在  $0\cdot7 \times 10^{-6}$  秒钟内摄得的，液体由铁的尖端顺序地 (1~6) 露出，而在 7 折回，在 8~1·2 成液索敷出，而在 1·3~1·6，从液索尖端生成液滴。此项实验系用 20 KHz 的超声波装置进行的。

喷雾器 B 的喷雾状态如图 1·8，上述二种现象均可在照片中看出。

其中之一，由照片上侧可看到 1~8<sup>#</sup> 的东西，液索从下方切断，由于表面张力，逐渐形成液滴，还有一种现象在照片 2~7<sup>#</sup> 部分液索生长，在尖端得到的液滴同照片 8~1·0<sup>#</sup> 的现象相同，这种试验使用 16·7 KHz 的超声波。

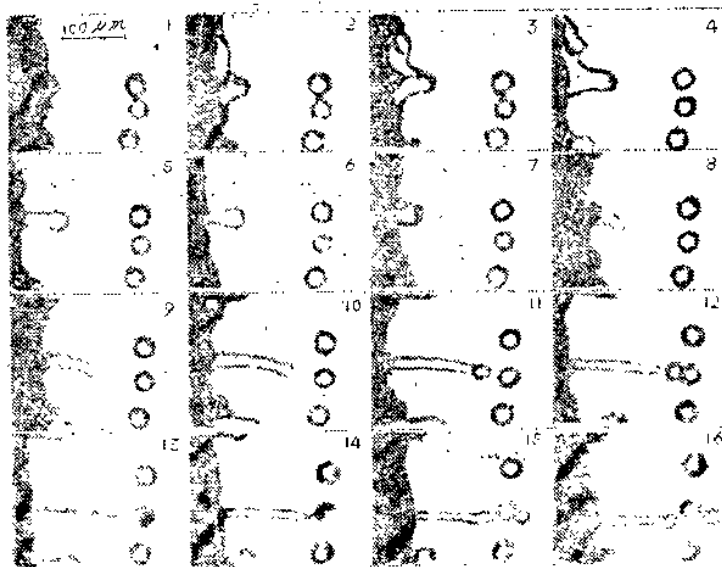


图 17 汉森喷雾器的实验

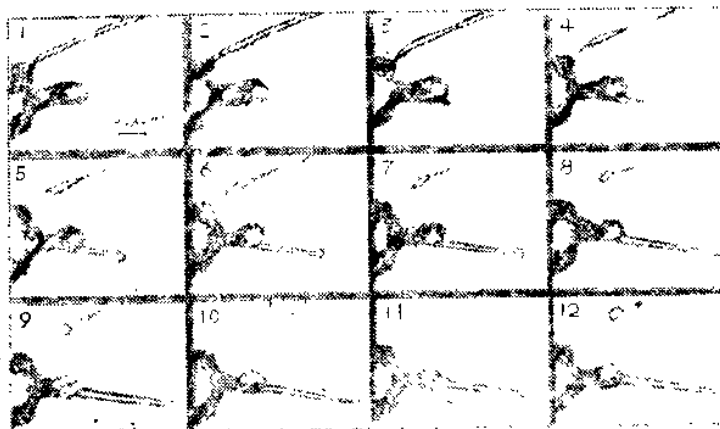


图 18 汉森喷雾器的实验

根据汉森的这个实验，清楚看出：超声波的喷雾情况同其它喷雾器一样，首先形成液索，然后成为液滴。

#### 4 - 3 超声波喷雾器的专刊

新的形式喷雾器各在研究报告和专刊公告，一般使用空气流的哈特曼的笛和电气的超声波发生器，现分别介绍。

##### (a) 使用哈特曼笛的超声波喷雾

八木⑥氏用上述的威尔科克斯的实验装置相同的喷雾方法，某种部份作些微小差别，已经有实用新设计，其方法如图 19 示 (a) 为总图 (b) 为超声波发生器和喷雾部分，由同图 (b) 的 10 通入压缩空气，从共振器 8 发生声波，喷雾液由管 9 进入，这根管子也兼共振器的支架，这根管的中间有孔 15，从小孔中排出液体，从而由声波进行喷雾。总图 (a) 16 为防止在上盖和侧面粘着的锥形盖，则不象是声波用的反射板，还有 17 为共振器的安装用插销，干燥用的热风由 3 进入。

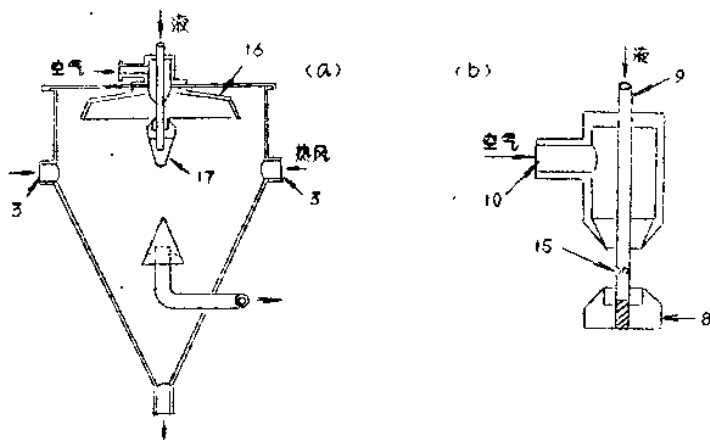


图 19 八木<sup>⑦</sup>的超声波喷雾干燥器

乔克 (Joeck) 曾对各种超声波喷雾器进行考查，用图 20 (a) 说明，压缩空气由管 10 进入，由此管的前端锐孔喷出，在共振器 11 发生超声波。料液由管 14 进入由 13 排出，图中 13 在超声波作用下，使液体喷雾。

图 20 (b) 中，从管 16 进入压缩空气，料液由管 17 入由 18 排出，在 18 部分接装共振筒 20，发生超声波，并进行喷雾。

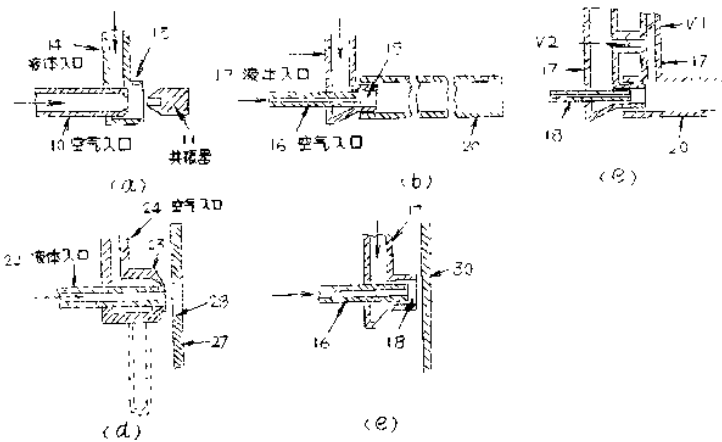


图 2-0 乔克的超声波喷雾器(8)

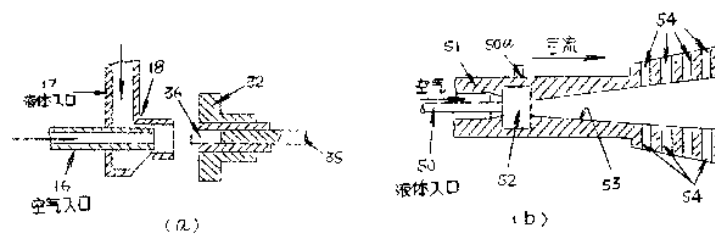


图 2-1 乔克的超声波喷雾器

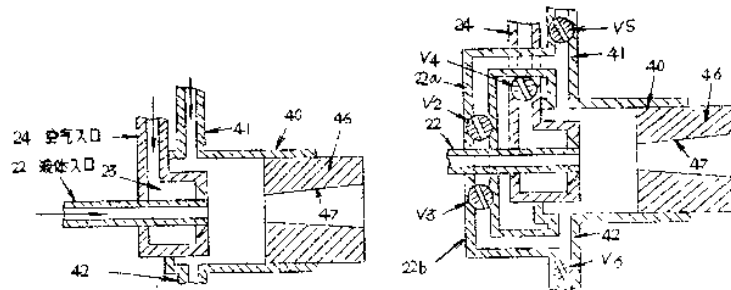


图 2-2 乔克的超声波喷雾器

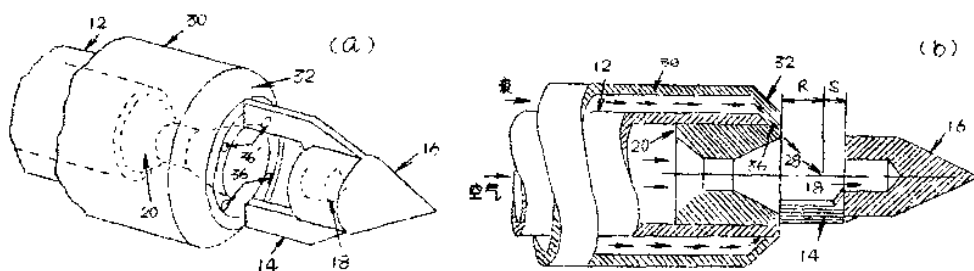


图 23 索尼克公司的超声波喷雾器

图 20(c)为图(b)的变形，料液分二路由阀门  $V_1, V_2$  将进入两部分的流量调节。

图 20(d) 若以锐孔发生声波，料液由内侧进入，即由管(22)进入，空气由 24 进入，由 23 喷出，在喷嘴段前面设置金属平板 27，在 27 上的锐孔 28 发发声波，而进行喷雾。

图 20(e) 与图(b)的喷雾部分相同，共振筒改为平板 30，由此发生音波而喷雾。

乔克的进一步改进形式示于图 21。

图 21(a)是将图 20 中的形式作了重新组合，物料和空气的喷嘴部分如图 20(b) 将共振器的孔的深度调到 36，图中 32 作用同图 20(e) 的 30 作用相同。图 21(b)，由管 50 进料，在其外侧进入空气，从 52 共振箱到 53 部分逐渐扩大，用 54 的孔使声波加强，而进行强力喷雾的方法。

其他种类的喷雾器如图 22。

图 22(a) 由 22 和 24 进入空气和料液，47 如同图 20(b) 的锐孔发生声波，41、42 也是料液入口，同其他的料液混合可同时进行喷雾。

图 22(b) 为(a)的改良结构，用阀门  $V_1 \sim V_6$  各自调节流量。

乔克宣传别人的研究方式，提到的结构如图 20 的(b)(c)和图 22。

索尼克公司的超声波喷雾器如图 2 3 所示，图 2 3 (a) 为透视图，(b) 为它的剖面图，空气在管 1 2 里边通过，经过文丘里管 2 0 喷出，由于 1 8 的共振器发出声波。

此外，液体由 1 2 和 3 0 间的夹层加入，由 3 6 的孔流出。空气流在 2 0 的文丘里部分，速度具有 1 马赫，最好在 1.6 马赫以上。在文丘里的出口处，喷嘴周围的空气压力，在良好的操作条件下，为 1 ~ 2 磅 / 英寸<sup>2</sup> 以上的低压，集中的声波能的芯在文丘里管和共振器 1 8 之间向外侧扩大。

料液从 3 6 的孔流出，在图 2 3 只有 4 个孔，多者更好。上述的空气压力，由于大多情况下中心比周围低，音能被吸引在芯部，将料液供给。此芯部在 2 8 的点，离喷嘴距离 R，离共振器距离 S，距离 S 用  $S = \lambda / 4$  式求取。

$$\text{或者 } \lambda = 1.307 D_A \sqrt{M_E^2 - 1} \quad (4)$$

$D_A$  = 喷嘴段内径 ( 气体压力同周围的气体压力相等时的管径 )  
( 英寸 )

$M_E$  = 喷嘴出口部分的气流的马赫数

由上式求出能量芯的位置，可使喷雾液对着芯的方向喷出。

这种喷雾方式同双流喷雾比较，动力消耗少，同其他的喷雾器比较可得到比较均匀的液滴。

用此喷雾器用水进行喷雾时，其平均粒径同水的流量和空气压力的关系示于图 2 4，求得的实验式不拟叙述。而其特点，料液的粘度对其平均粒径影响比较小。

另外乔克提出图 2 3 的改进型图 2 5，各部分都用螺纹连结，除了将料液进料口由夹层改为集合管形式外，基本没有变化。

若使料液进料简单化，可将喷出空气的文丘里和共振器的位置简单调节即可，还有一种改良方案，如图 2 6 示，在图 2 3 喷雾器中装 7 8 的夹层，由 8 0 将空气流出，为了调节喷雾流是必须要考虑的。

福特曼在哈普脱玛型的声波发生器的喷雾器，为在液体喷出部位嵌装共振器提出很多的方法，由于引起很多不便，为了避免上述问题